= ЭЛЕМЕНТАРНЫЕ ЧАСТИЦЫ И ПОЛЯ =

РЕДКИЕ РАСПАДЫ D_s -МЕЗОНОВ НА ТРИ ЗАРЯЖЕННЫХ ЛЕПТОНА И НЕЙТРИНО В РАМКАХ СТАНДАРТНОЙ МОДЕЛИ

© 2024 г. А. В. Данилина^{1),2),*}, Н. В. Никитин^{1),2),3),4),**}

Поступила в редакцию 07.12.2023 г.; после доработки 05.03.2024 г.; принята к публикации 14.03.2024 г.

В рамках Стандартной модели найдены значения парциальных ширин, получены и проанализированы однократные дифференциальные распределения для четырехлептонных распадов $D_s^- \to \mu^+ \mu^- \bar{\nu}_e \, e^-$ и $D_s^- \to e^+ e^- \bar{\nu}_\mu \, \mu^-$. При вычислениях учитывались вклады от процессов излучения виртуального фотона s- и c-кварками D_s^- -мезона и тормозное излучение виртуального фотона заряженным лептоном в конечном состоянии. Излучение виртуального фотона s-кварком описывалось при помощи модели доминантности векторных мезонов.

DOI: 10.31857/S0044002724050088, EDN: JEWBTB

1. ВВЕДЕНИЕ

Распады тяжелых заряженных псевдоскалярных мезонов на три заряженных легких лептона и нейтрино стали изучать сравнительно недавно. Первая теоретическая работа, в которой были получены предсказания для парциальных ширин распадов $B^- \rightarrow$ $\rightarrow \ell^+\ell^-\bar{\nu}_{\ell'}\,\ell'^-$, опубликована в 2018 г. [1]. В 2019 г. появилась первая и пока единственная экспериментальная работа коллаборации LHCb [2], содержащая верхний предел на парциальную ширину распада $B^- \to \mu^+ \mu^- \bar{\nu}_{\mu} \mu^-$. Экспериментальный верхний предел оказался существенно ниже, чем теоретическое предсказание работ [1] и [3]. Этот факт стимулировал появление работ [4-9], в которых обсуждались пути уменьшения величины теоретических предсказаний. Учет изотопических факторов в работе [4] позволил понизить предсказания для парциальной ширины распада $B^- o \mu^+ \mu^- ar{
u}_{\!\!\! \mu} \, \mu^-$ почти в 2 раза. В работе [5] было указано на то, что амплитуда (13) из статьи [1] содержит лишний полюс при $q^2 \to 0$, который противоречит калибровочной инвариантности. Наконец в работе [7] была предложена согласованная с требованием калибровочной инвариантности вычитательная процедура, использование которой позволило еще больше понизить теоретические предсказания, хотя они и продолжают превышать эксперимен-

Распады D-мезонов на четыре лептона до настоящего времени не изучались. Такие распады, как и распады B-мезонов, можно разделить на два типа. K первому типу относятся распады, которые связаны с переходом $c \to u$, т.е. идут за счет нейтральных токов, нарушающих аромат. Характерным примером таких распадов является распад $D^0 \to \ell^+ \ell^- \ell'^+ \ell'^-$, где лептоны ℓ и ℓ' могут быть как разными, так и одинаковыми. Чтобы не противоречить закону сохранения энергии, подобные распады могут идти только с участием легких лептонов: электронов и мюонов. Однако данные распады чрезвычайно подавлены вследствие унитарности матрицы Кабиббо-Кобаяши-Маскава (ККМматрицы) в Стандартной модели (СМ). Заметим, что любое отклонение от унитарности ККМ-матрицы может сильно повлиять на значения парциальных ширин подобных распадов. Во втором типе распадов конечное четырехлептонное состояние возникает изза большого числа электромагнитных и слабых процессов, которые, тем не менее, идут только на древесном уровне. К таким распадам относятся распады заряженных D-мезонов, т.е. распады вида $D_{(s)}^- o$ $\to \ell^+ \ell^- \bar{\nu}_{\ell'} \ell'^-$. Заметим, что распады D_s^\pm -мезонов с экспериментальной точки зрения имеют явное преимущество перед распадами D^{\pm} -мезонов, поскольку для распадов с легкими лептонами в конечном состоянии

$$\frac{\mathrm{Br}\left(D_{s}^{-} \rightarrow \ell^{+}\ell^{-}\bar{\mathbf{v}}_{\ell'}\,\ell'^{-}\right)}{\mathrm{Br}\left(D^{-} \rightarrow \ell^{+}\ell^{-}\bar{\mathbf{v}}_{\ell'}\,\ell'^{-}\right)} \sim \frac{\left|V_{cs}\right|^{2}}{\left|V_{cd}\right|^{2}}\left(\frac{M_{D_{s}}}{M_{D}}\right)^{5}\,\frac{\mathbf{\tau}_{D_{s}}}{\mathbf{\tau}_{D}} \,\sim\,12,$$

где $\tau_{D_{(s)}}$ и $M_{D_{(s)}}$ — время жизни и масса $D_{(s)}$ -мезона, которые можно найти в [10]. Поэтому далее в настоящей работе будем рассматривать только распады D_s -мезонов. Помимо распадов D_s^- -мезона в три лег-

тальный верхний предел [2]. Идея работы [7] будет использована в настоящей статье для модернизации формул статей [1] и [4].

Научно-исследовательский институт ядерной физики имени Д.В. Скобельцына Московского государственного университета имени М.В. Ломоносова, Москва, Россия.

²⁾ Национальный исследовательский центр "Курчатовский институт" — Курчатовский комплекс теоретической и экспериментальной физики, Москва, Россия.

³⁾ Физический факультет Московского государственного университета имени М.В. Ломоносова, Москва, Россия

⁴⁾ Московский физико-технический институт (национальный исследовательский университет), Долгопрудный, Россия.

^{*} E-mail: anna.danilina@cern.ch

^{**} E-mail: Nikolai.Nikitine@cern.ch

ких заряженных лептона и нейтрино, возможен распад $D_s^- \to e^+ e^- \bar{\mathbf{v}}_{\mathbf{\tau}} \, \mathbf{\tau}^-$, который подавлен фактором $\left(M_{D_s} - m_{\mathbf{\tau}}\right)^5/M_{D_s}^5 \sim 10^{-5}$ по сравнению с распадами D_s -мезонов в легкие лептоны и, следовательно, не представляет никакого интереса с экспериментальной точки зрения.

Таким образом, в настоящей работе мы будем рассматривать распады D_s -мезонов только на три легких заряженных лептона и нейтрино. Можно предположить, что основной вклад в такие четы-рехлептонные распады D_s -мезонов должен вносить каскадный распад с участием промежуточного $\varphi(1020)$ -резонанса, т.е. доминирующим является процесс $D_s^- \to \left(\varphi(1020) \to \ell^+\ell^-\right)\bar{\mathbf{v}}_{\ell'}\,\ell'^-$. Данное предположение основывается на том факте, что в аналогичные распады прелестных мезонов $B^- \to \ell^+\ell^-\bar{\mathbf{v}}_{\ell'}\,\ell'^-$ основной вклад вносит узкий $\omega(782)$ -резонанс [1, 4]. Тогда следующим образом можно сделать простую оценку величины резонансного вклада

$$\begin{split} \mathrm{Br}_{\varphi} \left(D_s^- \to \mu^+ \mu^- \bar{\mathrm{v}}_e e^- \right) &\approx \mathrm{Br} \left(D_s^- \to \varphi(1020) \bar{\mathrm{v}}_e e^- \right) \times \\ &\times \mathrm{Br} \left(\varphi(1020) \to \mu^+ \mu^- \right) \approx 0.7 \times 10^{-5} \end{split} \tag{1}$$

И

$$Br_{\varphi} \left(D_s^- \to e^+ e^- \bar{\nu}_{\mu} \mu^- \right) \approx Br \left(D_s^- \to \varphi(1020) \bar{\nu}_{\mu} \mu^- \right) \times \times Br \left(\varphi(1020) \to e^+ e^- \right) \approx 0.6 \times 10^{-5}. \quad (2)$$

Т.е. в обоих случаях для резонансного вклада получаем ${\rm Br}_{\rm o} \sim 10^{-5}$.

Нерезонансный вклад можно оценить, например, следующим образом:

$$\text{Br}_{\text{NR}}\left(D_s^- \to \mu^+ \mu^- \bar{\nu}_e \, e^-\right) \, \sim \, \alpha_{\text{em}} \, \text{Br}\left(D_s^- \to \gamma \bar{\nu}_e \, e^-\right).$$

В настоящее время для ${\rm Br}\,(D_s^- \to \gamma \bar{\nu}_e\,e^-)$ имеется только экспериментальный верхний предел 1.3×10^{-4} на 90% уровне достоверности [11], а теоретические предсказания варьируются в диапазоне от 10^{-3} до 10^{-5} [12—17]. Исходя из экспериментального ограничения можно написать, что

$$\mbox{Br}_{\mbox{NR}} \left(D_s^- \to \mbox{$\mu^+ \mu^- \bar{\nu}_e \, e^-$} \right) \, < \, 10^{-6}. \label{eq:Br}$$

Таким образом, следует ожидать, что нерезонансный вклад будет минимум на порядок меньше резонансного.

При помощи рассмотренных выше оценок невозможно учесть полюсной вклад тормозного излучения от заряженного лептона в конечном состоянии. Но можно ожидать, что подобный дополнительный вклад только увеличит значение парциальной ширины распадов $D_s^- \to \ell^+ \ell^- \bar{\mathbf{v}}_{\ell'} \ \ell'^-$.

Из [10] известно, что в настоящее время все экспериментально открытые распады D_s -мезонов име-

ют парциальные ширины не меньше, чем 10^{-4} , кроме канала $D_s^+ \to \pi^+ \Big(\varphi(1020) \to e^+ e^- \Big)$, парциальная ширина которого $\sim \! 10^{-5}$. Таким образом, приведенные выше оценки показывают, что распады $D_s \to \ell^+ \ell^- \bar{\nu}_{\ell'} \, \ell'^-$ с легкими лептонами в конечном состоянии находятся в зоне потенциального экспериментального обнаружения, прежде всего, на установке BESIII [18]. В этом случае теоретические предсказания для парциальных ширин таких распадов становятся особенно актуальными. Анализ аналогичных распадов заряженных B-мезонов показывает, что результаты аккуратных теоретических вычислений по порядку величины в целом соответствуют простым оценкам [1, 3, 4]. Такое же согласие будет продемонстрировано и в настоящей работе.

Работа устроена следующим образом. Во Введении обсуждается актуальность поиска распадов $D_s^- \rightarrow$ $ightarrow \ell^+ \ell^- ar{
u}_{\ell'} \, \ell'^-$ с легкими лептонами в конечном состоянии и приводятся простые оценки для парциальных ширин таких распадов. В разд. 2 даются определения гамильтонианов и адронных матричных элементов, которые необходимы для вычисления различных характеристик распадов $D_s^- \to \ell^+ \ell^- \bar{\nu}_{\ell'} \ell'^-$. Раздел 3 посвящен исследованию общей структуры амплитуды распадов $D_s^- o \ell^+ \ell^- ar{\mathsf{v}}_{\ell'} \, \ell'^-$, в том числе фиксации вычитательных членов. В разд. 4 соответствующая амплитуда вычисляется точно с учетом вклада тормозного излучения и резонансов. Раздел 5 содержит численные предсказания для парциальных ширин и однократные дифференциальные распределения, а также обсуждение полученных результатов. В Заключении представлены основные выводы работы. В Приложении А кратко дается кинематика четырехчастичных распадов.

2. ОСНОВНЫЕ ОПРЕДЕЛЕНИЯ

В терминах фундаментальных полей кварков, лептонов и калибровочных бозонов гамильтониан для вычисления амплитуды четырехлептонных распадов $D_s^- \to \ell^+ \ell^- \bar{\nu}_{\ell'} \ell'^-$ имеет вид

$$\mathcal{H}_{\text{eff}}(x) = \mathcal{H}_W(x) + \mathcal{H}_{\text{em}}(x).$$
 (3)

Гамильтониан слабых переходов $\bar{c} \to \bar{s}W^- \to \bar{s}\ell^-\bar{\mathbf{v}}_\ell$ записывается следующим образом:

$$\begin{split} \mathcal{H}_W(x) \, = \, -\, \frac{G_{\rm F}}{\sqrt{2}} \, V_{cs} \left(\bar{c}(x) \, \gamma^{\mu} (1 - \gamma^5) \, s(x) \right) \times \\ & \times \left(\bar{\ell}(x) \, \gamma_{\mu} (1 - \gamma^5) \mathbf{v}_{\ell}(x) \right) \, + \, \text{h.c.}, \end{split}$$

где c(x) и s(x) — поля кварков, $\ell(x)$ и $\mathbf{v}_\ell(x)$ — поля заряженных лептонов и нейтрино соответственно, G_{F} — константа Ферми, V_{cs} — матричный элемент ККМ-матрицы, матрица $\mathbf{\gamma}^5$ определена согласно $\mathbf{\gamma}^5 = i\,\mathbf{\gamma}^0\mathbf{\gamma}^1\mathbf{\gamma}^2\mathbf{\gamma}^3 = \mathbf{\gamma}_5$.

Гамильтониан электромагнитного взаимодействия записывается как

$$\begin{split} \mathcal{H}_{\text{em}}(x) \, = \, - \, e \, \sum_f \, Q_f \Big(\bar{f}(x) \, \gamma^\mu f(x) \Big) \, A_\mu(x) \, = \\ = \, - \, j_{\text{em}}^\mu(x) \, A_\mu(x). \end{split}$$

Элементарный заряд e=|e|>0 нормирован условием $e^2=4\pi\alpha_{\rm em}$, где $\alpha_{\rm em}\approx 1/137$ — постоянная тонкой структуры, Q_f — заряд фермиона аромата f в единицах элементарного заряда, f(x) — поле фермионов аромата f и $A_{\rm u}(x)$ — 4-потенциал электромагнитного поля.

Для описания вклада промежуточного $\phi(1020)$ -резонанса в распады $D_s^- \to \ell^+\ell^-\bar{\mathbf{v}}_{\ell'}\,\ell'^-$ используется модель доминантности векторных мезонов (VMD). В рамках этой модели взаимодействие векторного мезона с фотоном задается при помощи эффективного гамильтониана

$$\mathcal{H}_{VMD}(x) = -e \sum_{V_i} \frac{M_{V_i}^2}{f_{V_i}} V_i^{\mu}(x) A_{\mu}(x), \tag{4}$$

где $V_i^{\mu}(x)$ — эффективное поле векторного мезона V_i , а M_{V_i} — масса этого мезона. Безразмерная константа взаимодействия f_{V_i} определяется как

$$\langle 0 | j_{\text{em}}^{\mu}(0) | V_i(M_{V_i}, p, \varepsilon) \rangle = e \varepsilon^{\mu} \frac{M_{V_i}^2}{f_{V_i}}.$$

Данное определение однозначно фиксирует знак f_{V_i} . Абсолютная величина константы f_{V_i} вычисляется из экспериментального значения ширины распада $V_i \to \ell^+\ell^-$ в легкие лептоны, т.е. при $M_{V_i} \gg m_\ell$. В работе [19] найдено, что $f_{\omega(1020)} = -13.2$.

Заметим, что определения гамильтонианов $\mathcal{H}_W(x)$, $\mathcal{H}_{em}(x)$ и $\mathcal{H}_{VMD}(x)$ в настоящей работе отличаются знаком от аналогичных определений в работе [1] и совпадают по знаку с определениями в работе [4].

Для дальнейших вычислений определим следующие адронные матричные элементы:

$$\langle 0 | \bar{c} \gamma^{\mu} \gamma^{5} s | D_{s}^{-}(M_{1}, p) \rangle = i f_{D_{s}} p^{\mu},$$

$$\langle 0 | \bar{c} \gamma^{\mu} s | D_{s}^{*-}(M_{D_{s}^{*}}, k, \epsilon) \rangle = \epsilon^{\mu} M_{D_{s}^{*}} f_{D_{s}^{*}},$$

$$\langle V(M_{2}, q, \epsilon) | \bar{c} \gamma_{\mu} s | D_{s}^{-}(M_{1}, p) \rangle =$$

$$= \frac{2V(k^{2})}{M_{1} + M_{2}} \epsilon_{\mu\nu\alpha\beta} \epsilon^{*\nu} p^{\alpha} q^{\beta},$$

$$\langle V(M_{2}, q, \epsilon) | \bar{c} \gamma_{\mu} \gamma^{5} s | D_{s}^{-}(M_{1}, p) \rangle =$$

$$= i \epsilon^{*\nu} \left[(M_{1} + M_{2}) A_{1}(k^{2}) g_{\mu\nu} - \frac{A_{2}(k^{2})}{M_{1} + M_{2}} (p + q)_{\mu} p_{\nu} -$$

$$- \frac{2M_{2}}{k^{2}} \left(A_{3}(k^{2}) - A_{0}(k^{2}) \right) k_{\mu} p_{\nu} \right],$$

$$\langle D_{s}^{*-}(M_{D_{s}^{*}}, k, \epsilon) | \bar{c} \gamma^{\mu} c | D_{s}^{-}(M_{1}, p) \rangle =$$

$$= \frac{2V_{c}(q^{2})}{M_{1} + M_{D_{s}^{*}}} \epsilon_{\mu\nu\alpha\beta} \epsilon^{*\nu} p^{\alpha} k^{\beta},$$

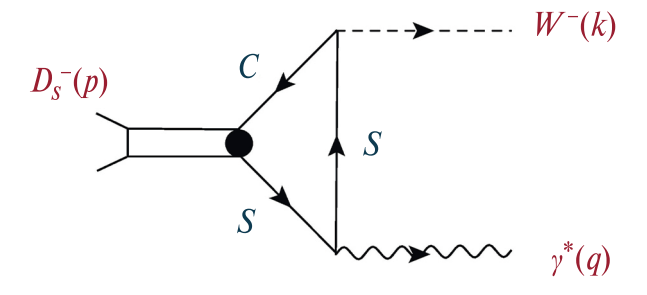


Рис. 1. Диаграмма, описывающая излучение виртуального фотона s-кварком D_s^- -мезона.

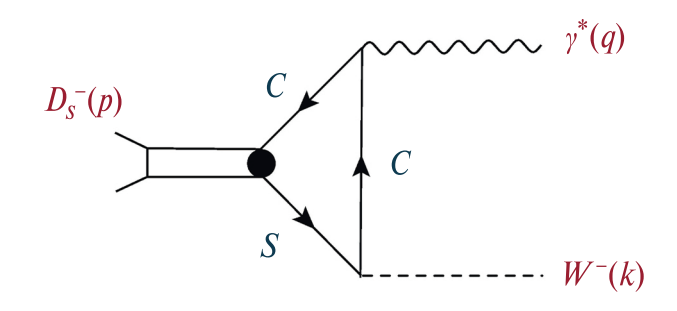


Рис. 2. Диаграмма, описывающая излучение виртуального фотона c-кварком D_s^- -мезона.

где M_1 — масса D_s^- -мезона, $p^\mu=q^\mu+k^\mu-4$ -импульс D_s^- -мезона, M_2 и M_{D_s*} — массы промежуточных векторных мезонов, ϵ^μ — поляризации промежуточных векторных мезонов, а компоненты полностью антисимметричного тензора $\epsilon^{\mu\nu\alpha\beta}$ заданы условием $\epsilon^{0123}==-1$.

3. ОБЩАЯ СТРУКТУРА АМПЛИТУД ДЛЯ РАСПАДОВ $D_s^- o \ell^+ \ell^- ar{\mathbf{v}}_{\ell'} \ell'^-$ В ПРЕДЕЛЕ НУЛЕВЫХ ЛЕПТОННЫХ МАСС

Определим $q=k_1+k_2$ и $k=k_3+k_4$. В амплитуду $\mathcal{M}_{fi}\left(q^2,k^2\right)$ распадов $D_s^-(p)\to\gamma^*(q)\,W^-(k)\to\ell^+(k_1)\,\ell^-(k_2)\,\bar{\mathbf{v}}_{\ell'}(k_3)\,\ell'^-(k_4)$, когда аромат лептона ℓ не совпадает с ароматом лептона ℓ' , вносят вклад три основных типа диаграмм. Первый тип отвечает ситуации, когда виртуальный фотон излучается легким s-кварком (см. рис. 1). Второй тип соответствует излучению виртуального фотона относительно тяжелым c-кварком (см. рис. 2). Наконец, третий тип связан с процессом тормозного излучения, когда виртуальный фотон излучается заряженным лептоном в конечном состоянии (см. рис. 3).

Общая структура амплитуды, отвечающей диаграммам рис. 1, рис. 2 и рис. 3, может быть представлена в виле

$$\mathcal{M}_{fi}\left(q^2, k^2\right) \sim \frac{1}{q^2} T_{\nu\mu}(q, k) j^{\nu}(k_2, k_1) J^{\mu}(k_4, k_3), \quad (6)$$

где

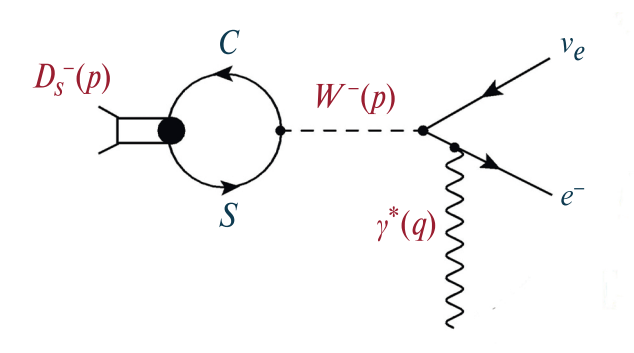


Рис. 3. Диаграмма, соответствующая тормозному излучению виртуального фотона.

$$\begin{split} T^{\mathrm{v}\mu}(q,k) &= i \int d^4x e^{i(qx)} \left\langle \left. 0 \right| \mathsf{T} \Big(j_{\mathrm{em}}^{\mathrm{v}}(x), V^{\mu}(0) - \right. \\ &\left. - A^{\mu}(0) \right) \left| \right. D_s^-(M_1,p) \left. \right\rangle = T_V^{\mathrm{v}\mu}(q,k) - T_A^{\mathrm{v}\mu}(q,k). \end{split}$$

Адронные токи определены как

$$V^{\mu}(x) = \overline{c}(x) \gamma^{\mu} s(x)$$
 и $A^{\mu}(x) = \overline{c}(x) \gamma^{\mu} \gamma^5 s(x)$,

а лептонные токи имеют вид

$$j^{\mathrm{v}}(k_2, k_1) = \left(\overline{\ell}(k_2)\gamma^{\mathrm{v}}\ell(-k_1)\right)$$
 и $J^{\mu}(k_4, k_3) = \left(\overline{\ell'}(k_4)\gamma^{\mu}(1-\gamma^5)\nu_{\ell'}(-k_3)\right).$

В выражении (6) для амплитуды $\mathcal{M}_{fi}\left(q^{2},\,k^{2}\right)$ явно выделен полюс $1/q^2$ от фотонного пропагатора. Для обрезания данного полюса в области $q^2 \to 0$ необходимо учесть, что лептоны имеют ненулевые массы и подвергаются различным процедурам кинематического отбора при регистрации на экспериментальных установках. Учет производится как при помощи точной формулы (А.3) для четырехчастичного фазового объема, так и с помощью эффективного обрезания при некотором значении q_{\min}^2 . Для $\ell \equiv \mu$ в качестве величины q_{\min}^2 имеет смысл выбрать естественный кинематический порог, равный $4m_{\mu}^2$. В то время как для $\ell \equiv e$ разумно остановиться на кинематических ограничениях, обусловленных возможностями конкретной экспериментальной установки. Например, в электромагнитном калориметре установки LHCb регистрируются e^- и e^+ с поперечными импульсами $p_T > 200 \text{ M} \rightarrow \text{B}$. Это почти на три порядка больше, чем масса электрона или позитрона, и по порядку величины совпадает с массой мюона. В подразделе 5.2 этот вопрос будет обсуждаться подробнее.

Тензор $T^{\nu\mu}(q, k)$ удовлетворяет условию поперечности: $q_{\nu}T^{\nu\mu}(q, k)=0$. Тогда с учетом данного условия, следуя работам [4,20], для векторной и аксиальной частей тензора $T^{\nu\mu}(q, k)$ можем написать:

$$T_V^{\nu\mu}(q, k) = \epsilon^{\nu\mu\,q\,k} \frac{e\,a\left(q^2, k^2\right)}{M_1} \tag{7}$$

И

$$T_{A}^{\nu\mu}(q, k) = i \left(g^{\nu\mu} - \frac{q^{\nu} q^{\mu}}{q^{2}}\right) e M_{1} b\left(q^{2}, k^{2}\right) +$$

$$+ 2ie \left(k^{\nu} - \frac{(qk)}{q^{2}}q^{\nu}\right) \left(k^{\mu} \frac{d\left(q^{2}, k^{2}\right)}{M_{1}} - q^{\mu} \frac{c\left(q^{2}, k^{2}\right)}{M_{1}}\right) +$$

$$+ ie Q_{D_{s}} f_{D_{s}} \frac{q_{\nu} q_{\mu}}{q^{2}} + ie Q_{D_{s}} f_{D_{s}} \frac{q_{\nu} k_{\mu}}{q^{2}},$$
 (8)

где $Q_{D_s}=Q_s-Q_c=-1$ — электрический заряд D_s^- -мезона в единицах положительного элементарного заряда, $a\left(q^2,k^2\right),\ldots,d\left(q^2,k^2\right)$ — безразмерные формфакторы, которые являются функциями двух переменных — квадратов переданных 4-импульсов — q^2 и k^2 . Заметим, что тензор $T_V^{\text{уµ}}(q,k)$ автоматически поперечен. Поэтому специально заботиться необходимо только о поперечности тензора $T_A^{\text{уµ}}(q,k)$, что нашло свое отражение в выражении (8).

Формула (8) содержит кинематическую особенность при $q^2 \to 0$. Как было отмечено в [7], эта особенность не может отвечать реальной частице, поскольку в канале излучения $\ell^+\ell^-$ -пары отсутствует безмассовый векторный мезон, а полюс фотонного пропагатора был явно учтен в формуле (6). Поэтому необходимо, чтобы комбинации формфакторов при лоренцевских структурах $q_{\rm v}q_{\rm u}/q^2$ и $q_{\rm v}k_{\rm u}/q^2$ при $q^2 \to 0$ стремились к нулю. Если следовать только логике работы [4], то из (8) сразу следует, что $b(0,0)=c(0,0)+Q_{D_s}f_{D_s}/M_1$ и $d(0,0)=Q_{D_s}f_{D_s}/M_1$. Однако работа [7] позволяет продвинуться существенно дальше.

Рассмотрим комбинацию формфакторов при $q_{\rm v} \, k_{\rm H}/q^2$. Имеем

$$Q_{D_s} f_{D_s} - \frac{2(qk)}{M_1} d(q^2, k^2) \Big|_{q^2 \to 0} = 0.$$

Отсюда

$$d(0, k^2) = \frac{Q_{D_s} f_{D_s}}{M_1} \frac{1}{1 - x_{34}}, \tag{9}$$

где $x_{34}=k^2/M_1^2$. Теперь рассмотрим общее выражение для $d\left(q^2,\,k^2\right)$. Имеем:

$$d\left(q^{2},\,k^{2}\right) \,=\, d\left(0,\,k^{2}\right) \,+\, \Delta\left(q^{2},\,k^{2}\right).$$

Чтобы согласовать данную формулу с выражением (9), наложим на функцию $\Delta\left(q^2,\,k^2\right)$ дополнительное условие: $\Delta\left(0,\,k^2\right)=0$.

Если мы ожидаем, что в функцию $\Delta\left(q^2,\,k^2\right)$ дает вклад только один промежуточный узкий векторный резонанс $\phi(1020)$, то в рамках VMD функцию $\Delta\left(q^2,\,k^2\right)$ можно представить в виде

$$\Delta\left(q^2, \, k^2\right) \, = \, \frac{f(k^2)}{q^2 - \delta},$$

где $\delta = M_2^2 - i\Gamma_2 M_2 \approx M_2^2$ для узких резонансов вдали от точки $q^2 = M_2^2$. Поскольку функция

 $\Delta\left(0,\,k^2\right)=-f(k^2)/\delta$ не удовлетворяет дополнительному условию, то необходимо сделать минимум одно вычитание и вместо функции $\Delta\left(q^2,\,k^2\right)$ рассматривать функцию

$$\tilde{\Delta} \left(q^2, \, k^2 \right) \, = \, \Delta \left(q^2, \, k^2 \right) - \Delta \left(0, \, k^2 \right) \, \approx \, \frac{q^2}{M_2^2} \, \Delta \left(q^2, \, k^2 \right),$$

для которой $\tilde{\Delta} (0, k^2) = 0$. Окончательно

$$d\left(q^{2}, k^{2}\right) = \frac{Q_{D_{s}} f_{D_{s}}}{M_{1}} \frac{1}{1 - x_{34}} + \frac{q^{2}}{M_{2}^{2}} \Delta\left(q^{2}, k^{2}\right). \tag{10}$$

Теперь рассмотрим комбинацию формфакторов при $q_{\rm v}\,q_{\rm \mu}/q^2$. Имеем

$$Q_{D_s} f_{D_s} + \frac{2(qk)}{M_1} c(q^2, k^2) - M_1 b(q^2, k^2) \Big|_{q^2 \to 0} = 0.$$

Это дает следующее выражение для функции $c(0, k^2)$:

$$c(0, k^2) = -\frac{Q_{D_s} f_{D_s}}{M_1} \frac{1}{1 - x_{34}} + \frac{b(0, k^2)}{1 - x_{34}}.$$

Если для вычисления функций $b\left(q^2,\,k^2\right)$ и $c\left(q^2,\,k^2\right)$ снова воспользоваться приближением VMD с вычитательной процедурой, то получим:

$$b(q^2, k^2) = \frac{q^2}{M_2^2} \frac{g(k^2)}{q^2 - \delta}.$$
 (11)

Из (11) следует, что $b(0, k^2) = 0$. Тогда

$$c(q^2, k^2) = -\frac{Q_{D_s} f_{D_s}}{M_1} \frac{1}{1 - x_{34}} + \frac{q^2}{M_2^2} \frac{h(k^2)}{q^2 - \delta}.$$
 (12)

Вопрос о проведении вычитательной процедуры для функции $a\left(q^2,\,k^2\right)$ из формулы (7) остается открытым. В данной работе мы предполагаем, что

$$a(q^2, k^2) = \frac{q^2}{M_2^2} \frac{r(k^2)}{q^2 - \delta}.$$
 (13)

Функции $f(k^2)$, $g(k^2)$, $h(k^2)$ и $r(k^2)$ однозначно вычисляются в рамках приближения VMD.

При помощи выражений (7), (8) и уравнений движения в пределе нулевых лептонных масс можно написать следующую общую структуру для амплитуды (6):

$$\mathcal{M}_{fi}\left(q^{2},k^{2}\right) \sim \frac{e}{q^{2}} \left(\epsilon_{\nu\mu qk} \frac{a\left(q^{2},k^{2}\right)}{M_{1}} - ig_{\nu\mu} M_{1} b\left(q^{2},k^{2}\right) + ik_{\nu} q_{\mu} \frac{2ic\left(q^{2},k^{2}\right)}{M_{1}}\right) j^{\nu}(k_{2},k_{1}) J^{\mu}(k_{4},k_{3}). \quad (14)$$

В этом пределе функция $d\left(q^2,\,k^2\right)$ выпадает из амплитуды (14). Однако для ненулевых масс заряженных лептонов вклад от $d\left(q^2,\,k^2\right)$ необходимо учитывать.

Последовательное вычисление функций $a\left(q^2,k^2\right)$, $b\left(q^2,k^2\right)$ и $c\left(q^2,k^2\right)$ представляет собой сложную задачу. В настоящей работе мы ограничимся рассмотрением только резонансного вклада легчайшего векторного мезона, который будет записан с учетом вычитательной процедуры, и процессами тормозного излучения.

4. ФОРМУЛЫ ДЛЯ РАСПАДА $D_s^- o \ell^+ \ell^- ar{\mathbf{v}}_{\ell'} \ell'^-$

Рассмотрим распады $D_s^- \to \mu^+ \mu^- \bar{\nu}_e \, e^-$ и $D_s^- \to e^+ e^- \bar{\nu}_\mu \, \mu^-$, когда в конечном состоянии отрицательно заряженные легкие лептоны имеют разный аромат. В общем виде эти распады можно записать как $D_s^-(p,\,M_1) \to \ell^+(k_1)\,\ell^-(k_2)\,\bar{\nu}_{\ell'}(k_3)\,\ell'^-(k_4)$.

Начнем с вычисления вклада от излучения виртуального фотона s-кварком, который показан на рис. 1. Если положить $m_\ell = m_{\ell'} = 0$ и воспользоваться явным видом эффективных гамильтонианов (3) и (4), то можно найти, что в рамках модели доминантности векторных мезонов с вычитанием вклад процесса рис. 1 описывается при помощи диаграммы рис. 4, а соответствующая этой диаграмме амплитуда имеет вид

$$\mathcal{M}_{fi}^{(s)} = \frac{\mathcal{A}}{f_V} \frac{1}{q^2 - M_2^2 + i\Gamma_2 M_2} \mathcal{F}_{\mu\nu} j^{\nu}(k_2, k_1) J^{\mu}(k_4, k_3), \tag{15}$$

где $\mathcal{A} = \frac{G_{\rm F}}{\sqrt{2}} 4 \pi \, \alpha_{\rm em} \, V_{cs}$. С учетом определения (5) и уравнений движения для безмассовых лептонов находим структуру $\mathcal{F}_{\rm uv}$ в виде:

$$\mathcal{F}_{\mu\nu} = \frac{2V(k^2)}{M_1 + M_2} \epsilon_{\mu\nu kq} - i(M_1 + M_2)A_1(k^2)g_{\mu\nu} +$$

$$+ 2i\frac{A_2(k^2)}{M_1 + M_2}q_{\mu}k_{\nu}.$$

В формуле (15) принимается во внимание вклад только одного легчайшего $\phi(1020)$ -резонанса. Формфакторы $V(k^2)$, $A_1(k^2)$ и $A_2(k^2)$ являются формфакторами перехода $D_s \to \phi(1020)$. Данная формула позволя-

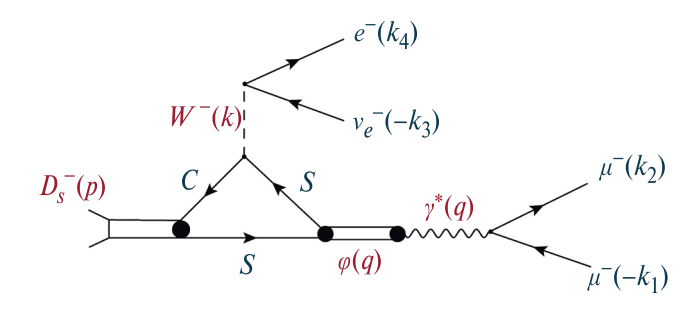


Рис. 4. Диаграмма для вычисления амплитуды $\mathcal{M}_{fi}^{(s)}$ (см. формулу (15)) на примере распада $D_s^- \to \mu^+\mu^-\bar{\nu}_e\,e^-$. Излучение виртуального фотона s-кварком описывается в рамках модели доминантности векторных мезонов (4).

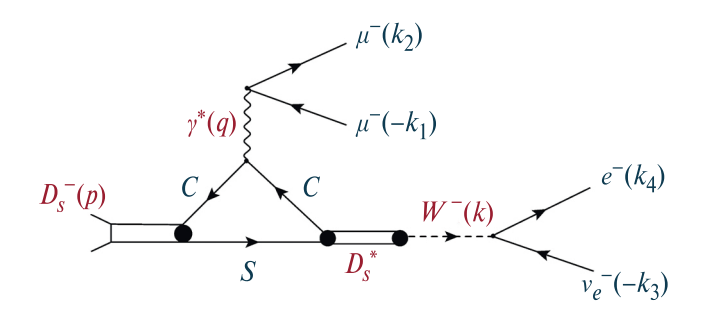


Рис. 5. Диаграмма для вычисления амплитуды $\mathcal{M}_{fi}^{(c)}$ (см. формулу (16)) на примере распада $D_s^- \to \mu^+ \mu^- \bar{\nu}_e \, e^-$.

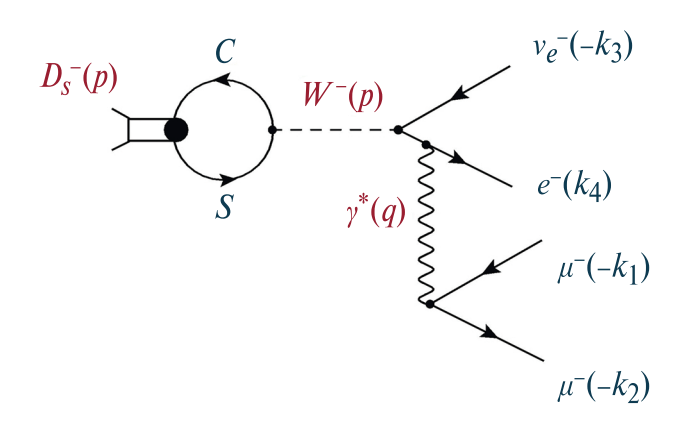


Рис. 6. Диаграмма для вычисления амплитуды тормозного излучения (см. формулу (17)) на примере распада $D_s^- \to \mu^+ \mu^- \bar{\nu}_e \, e^-$.

ет найти явный вид функций $g(k^2)$, $h(k^2)$ и $r(k^2)$, которые были введены в предыдущем разделе. Масса M_2 соответствует массе $\phi(1020)$ -резонанса.

Вклад процесса рис. 2 дается диаграммой рис. 5, которая является кросс-каналом распада $D_s^* \to D_s \gamma^*$ векторного мезона в псевдоскалярный мезон и виртуальный фотон. С учетом определения (5) амплитуда такого процесса может быть записана в виде

$$\mathcal{M}_{fi}^{(c)} = -\frac{4}{3} \frac{\mathcal{A}}{q^2} \frac{M_{D_s^*} f_{D_s^*}}{k^2 - M_{D_s^*}^2} \frac{V_c(q^2)}{M_1 + M_{D_s^*}} \epsilon_{\mu\nu kq} \times \\ \times j^{\nu}(k_2, k_1) J^{\mu}(k_4, k_3). \quad (16)$$

Мнимая добавка в пропагаторе отсутствует, поскольку $k^2 \leqslant (M_{D_s} - 2m_\ell)^2 < M_{D_s^*}^2.$

Перейдем к рассмотрению процесса тормозного излучения виртуального фотона, который описывается при помощи диаграммы рис. 6. Данный процесс корректно рассматривать, когда $m_\ell \neq 0$ и $m_{\ell'} \neq 0$. В этом случае амплитуда тормозного излучения имеет вид

$${\cal M}_{fi}^{({\rm brem})} \ = \ i \, \frac{{\cal A}}{q^2} \, f_{D_s} \, g_{\mu\nu} \, j^{\nu}(k_2, \, k_1) \, \tilde{J}^{\mu}(k_4, \, k_3), \label{eq:Mfi}$$

где

$$\begin{split} \tilde{J}^{\mu}(k_4, \, k_3) \, &= \, J^{\mu}(k_4, \, k_3) \, + \, \frac{m \, \ell'}{(p - k_3)^2 - m_{\ell'}^2} \, \times \\ & \times \, \Big(\overline{\ell'}(k_4) \, \gamma^{\mu} \, (\hat{p} + m \, \ell') \, (1 - \gamma^5) \, \mathbf{v}_{\ell'}(-k_3) \Big). \end{split}$$

Поскольку $(2m_\ell+m_{\ell'})^2\leqslant (p-k_3)^2\leqslant M_1^2$, то второе слагаемое не содержит полюсов во всей кинематически разрешенной области. Второе слагаемое может быть сравнимо с первым только в области, где $(p-k_3)^2\sim (2m_\ell+m_{\ell'})^2$. Но эта область подавлена при интегрировании по фазовому объему (A.3). Поэтому с хорошей степенью точности можем положить, что амплитуда тормозного излучения имеет вид

$$\mathcal{M}_{fi}^{(\text{brem})} = i \frac{\mathcal{A}}{q^2} f_{D_s} g_{\mu\nu} j^{\nu}(k_2, k_1) J^{\mu}(k_4, k_3).$$
 (17)

Суммируя результаты предыдущего и данного разделов можем окончательно записать амплитуду распада $D_s^- \to \ell^+ \ell^- \bar{\nu}_{\ell'} \ \ell'^-$ в виде

$$\mathcal{M}_{fi} = \mathcal{M}_{fi}^{(s)} + \mathcal{M}_{fi}^{(c)} + \mathcal{M}_{fi}^{(brem)} =$$

$$= \frac{\mathcal{A}}{q^2} \left[\frac{a(q^2, k^2)}{M_1} \, \varepsilon_{\mu\nu k \, q} - i M_1 b(q^2, k^2) \, g_{\mu\nu} + \right.$$

$$\left. + 2i \, \frac{c(q^2, k^2)}{M_1} \, q_{\mu} k_{\nu} \right] j^{\nu}(k_2, \, k_1) \, J^{\mu}(k_4, \, k_3), \quad (18)$$

где безразмерные функции $a(q^2,k^2)\equiv a(x_{12},\,x_{34}),$ $b(q^2,k^2)\equiv b(x_{12},\,x_{34})$ и $c(q^2,k^2)\equiv c(x_{12},\,x_{34})$ заданы выражениями:

$$a(x_{12}, x_{34}) = -\frac{2}{3} \frac{\hat{M}_{D_s^*} \hat{f}_{D_s^*}}{x_{34} - \hat{M}_{D_s^*}^2 + i\hat{\Gamma}_{D_s^*} \hat{M}_{D_s^*}} \frac{2V_c \left(M_1^2 x_{12}\right)}{1 + \hat{M}_{D_s^*}} + \frac{1}{f_V} \frac{x_{12}}{x_{12} - \hat{M}_2^2 + i\hat{\Gamma}_2 \hat{M}_2} \frac{2V(M_1^2 x_{34})}{1 + \hat{M}_2};$$

$$b(x_{12}, x_{34}) = -\hat{f}_{D_s} + \frac{1}{f_V} \frac{x_{12}}{x_{12} - \hat{M}_2^2 + i\hat{\Gamma}_2 \hat{M}_2} \times \tag{19}$$

$$\times (1 + \hat{M}_2) A_1(M_1^2 x_{34});$$

$$c(x_{12}, x_{34}) = \frac{\hat{f}_{D_s}}{1 - x_{34}} + \frac{1}{f_V} \frac{x_{12}}{x_{12} - \hat{M}_2^2 + i\hat{\Gamma}_2 \hat{M}_2} \frac{A_2(M_1^2 x_{34})}{1 + \hat{M}_2}.$$

Безразмерные переменные $x_{12}=q^2/M_1^2$ и $x_{34}=k^2/M_1^2$ определены в Приложении А. Входящие в (19) безразмерные постоянные заданы следующим образом: $\hat{f}_{D_s}=f_{D_s}/M_1,~\hat{f}_{D_s^*}=f_{D_s^*}/M_1,$ $\hat{\Omega}_2=M_2/M_1,~\hat{M}_{D_s^*}=M_{D_s^*}/M_1,~\hat{\Gamma}_2=\Gamma_2/M_1$ и $\hat{\Gamma}_{D_s^*}=\Gamma_{D_s^*}/M_1.$ Заметим, что формфакторы $V_c(q^2),~V(k^2),~A_1(k^2)$ и $A_2(k^2)$ также являются безразмерными функциями.

Дифференциальная парциальная ширина распада $D_s^- o \ell^+ \ell^- ar{\mathbf{v}}_{\ell'} \, \ell'^-$ вычисляется по формуле

$$\frac{1}{\tau_{D^{-}}} \frac{d \operatorname{Br} (D_{s}^{-} \to \ell^{+} \ell^{-} \bar{\mathbf{v}}_{\ell'} \ell'^{-})}{d \Phi_{4}} = \frac{\sum_{s_{1}, s_{2}, s_{3}, s_{4}} |\mathcal{M}_{fi}|^{2}}{2M_{1}}, (20)$$

где $au_{D_s^-}$ — время жизни D_s^- -мезона, 4-частичный фазовый объем $d\Phi_4$ задается выражением (А.3), суммирование происходит по спинам всех конечных лептонов. Номер спина лептона соответствует номеру 4-импульса этого лептона.

В заключении данного раздела имеет смысл обсудить соответствие между формфакторами F_V , F_{1A} и F_{2A} работы [7] и аналогичными им безразмерными функциями (19). Пусть $\tilde{F}_V = F_V$ — вычитательные члены. Аналогично введем \tilde{F}_{1A} , \tilde{F}_{2A} , \tilde{b} и \tilde{c} . Наконец обозначим $\tilde{a}=a$ — вклад (16). Тогда имеет место следующее соответствие: $\tilde{F}_V(\ldots)=\tilde{a}(\ldots),\ \tilde{F}_{1A}(\ldots)==M_1^2\,\tilde{b}(\ldots)/(kq)$ и $\tilde{F}_{2A}=M_1^2\,\tilde{b}(\ldots)/(kq)-2\,\tilde{c}(\ldots)$. Вычитательные члены и дополнительные вклады в обеих работах разные и прямо не переходят друг в друга.

5. ЧИСЛЕННЫЕ РЕЗУЛЬТАТЫ

5.1. Выбор численных значений для адронных констант и формфакторов переходов

Для вычисления парциальных ширин и нахождения формы дифференциальных распределений используются значения масс, времен жизни, ширин распадов псевдоскалярных и векторных мезонов и матричные элементы ККМ-матрицы из [10]. Численная параметризация формфакторов переходов $D_s \to \phi(1020)$ взята из работы [21]. Лептонная константа $f_{D_s} \approx 220~{\rm M}{\ni}{\rm B}$ [21], что не более чем на 10% отличается от актуальных результатов, полученных при помощи вычислений на решетке [22]. Поскольку предложенный нами метод имеет худшую точность, то данное численное различие не является критичным.

В выражение (19) для $a(x_{12}, x_{34})$ входят константа $f_{D_s^*}$ и формфактор $V_c(q^2)$. Чтобы оценить величину $f_{D_s^*}$, воспользуемся подходом эффективной теории тяжелых кварков (HQET). Тогда

$$\frac{f_{D_s^*}}{f_{D_s}} \approx \frac{f_{B^*}}{f_{B_u}}.$$

Если взять численные значения лептонных констант f_{B^*} и f_{B_u} из работы [1], то $f_{D_s^*}/f_{D_s}\approx 0.96$. С той точностью, с которой в настоящей статье проводятся вычисления, это означает, что фактически можно выбрать $f_{D_s^*}=f_{D_s}$.

Аналогично в приближении эффективной теории тяжелых кварков можем написать

$$\frac{V_c(0)}{V_b(0)} \approx \frac{f_D}{f_{B_u}}.$$

Заимствуя численные значения константы f_D из [21], а величин f_{B_u} и $V_b(0)$ — из [1], найдем, что $V_c(0)\approx 1.1$. Применяя аргументацию работы [20] к диаграмме рис. 2, для формфактора $V_c(q^2)$ запишем простую полюсную параметризацию:

$$V_c(q^2) = \frac{V_c(0)}{1 - q^2/M_{J/\psi}^2}.$$

5.2. Вычисление парциальных ширин распадов
$$D_s^- o \mu^+ \mu^- \bar{\nu}_e \, e^- \, u \, D_s^- o e^+ e^- \bar{\nu}_u \, \mu^-$$

Согласно (18) амплитуда распадов $D_s^- \to \ell^+\ell^-\bar{\bf v}_{\ell'}\,\ell'^-$ может быть записана в виде:

$$\mathcal{M}_{fi} = \frac{2\sqrt{2}\pi G_{\rm F}\alpha_{\rm em}V_{cs}}{M_1^2} \sum_{\{L\}} \frac{1}{x_{12}} L_{\mu\nu} j^{\nu} J^{\mu}, \quad (21)$$

где j^{ν} и J^{μ} — лептонные токи, а $L_{\mu\nu}$ — различные лоренцевы структуры, которые входят в формулу (18). Тогда из (20) получаем, что

Br
$$(D_s^- \to \ell^+ \ell^- \bar{\mathbf{v}}_{\ell'} \ell'^-) =$$

$$= \frac{\tau_{D_s^-}}{2M_1} \int \left(\sum_{s_1, s_2, s_3, s_4} |\mathcal{M}_{fi}|^2 \right) d\Phi_4 =$$

$$= \frac{4\pi^2 G_F^2 \alpha_{\text{em}}^2 |V_{cs}|^2}{M_1^5} \tau_{D_s^-} \times$$

$$\times \int \left(\sum_{s_1, s_2, s_3, s_4} \left| \sum_{\{L\}} \frac{1}{x_{12}} L_{\mu\nu} j^{\nu} J^{\mu} \right|^2 \right) d\Phi_4. \quad (22)$$

Для проведения численного интегрирования выражения (22) по фазовому объему будем использовать программный пакет EvtGen [23] и перепишем (22) в виде:

$$\begin{split} \operatorname{Br}\left(D_{s}^{-} \to \ell^{+}\ell^{-}\bar{\mathbf{v}}_{\ell'}\ell'^{-}\right) &\approx \\ &\approx \frac{4\pi^{2}G_{F}^{2}\alpha_{\mathrm{em}}^{2}|V_{cs}|^{2}}{M_{1}^{5}}\mathbf{\tau}_{D_{s}^{-}}\left(M_{1}^{6}|X|^{2}\right)\frac{N_{0}}{N_{\mathrm{tot}}}\Phi_{4}(0) = \\ &= \frac{\alpha_{\mathrm{em}}^{2}\left|V_{cs}\right|^{2}}{3\cdot2^{11}\cdot\pi^{3}}\mathbf{\tau}_{D_{s}^{-}}G_{F}^{2}M_{1}^{5}|X|^{2}\frac{N_{0}}{N_{c}}, \quad (23) \end{split}$$

где $N_{\rm tot}$ — полное число событий, разыгранных Монте-Карло генератором EvtGen при помощи амплитуды (21); N_0 — число принятых событий; $|X|^2$ — максимальное значение безразмерной величины

$$\frac{\sum\limits_{s_1,\,s_2,\,s_3,\,s_4} \left| \sum\limits_{\{L\}} \frac{1}{x_{12}} \, L_{\mu\nu} \, j^{\nu} \, J^{\mu} \right|^2}{M_1^6},$$

а $\Phi_4(0)=\frac{M_1^4}{3\cdot 2^{13}\cdot \pi^5}$ — четырехчастичный фазовый объем при нулевых значениях лептонных масс. Поясним, откуда в знаменателе последней формулы появляется множитель M_1^6 . В используемом нами методе величина $|X|^2$ должна быть безразмерной. Хорошо известно, что размерность лептонных токов $j^{\rm v}(k_2,\,k_1)$ и $J^{\rm u}(k_4,\,k_3)$ совпадает с размерностью массы. А из формул (18) и (19) сразу следует, что любая лептонная структура $L_{\rm uv}$ также имеет размерность массы. Отсюда видно, что обезразмеривать числитель надо шестой степенью массы.

Используемый нами алгоритм вычисления парциальной ширины работает следующим образом. На

первом шаге следует определить значение константы $|X|^2$. Для этого проводится генерация событий в районе предполагаемого максимума матричного элемента. На втором шаге выполняется Монте-Карло интегрирование методами EvtGen при различных значениях $N_{\rm tot}$, последовательно увеличивая полное число событий. Когда численное значение парциальной ширины, вычисленное при каждой последующей итерации, стабильно отличается от предыдущей итерации менее чем на 1%, процедура интегрирования прекращается. Заметим, что основная ошибка численного значения парциальной ширины возникает из неточности непертурбативного вычисления адронных матричных элементов.

Начнем с вычисления парциальной ширины распада $D_s^- \to \mu^+ \mu^- \bar{\mathbf{v}}_e \, e^-$. В этом случае максимум квадрата модуля матричного элемента приходится на область $\phi(1020)$ -резонанса. В качестве кинематических ограничений снизу выберем $x_{12\,\mathrm{min}}=4\,\hat{m}_\mu^2\approx 0.01$ и $x_{34\,\mathrm{min}}=\hat{m}_e^2\approx 0$, где $\hat{m}_\ell=m_\ell/M_1$. Значение $M_1^2\,x_{12\,\mathrm{min}}$ служит естественным параметром обрезания вклада фотонного полюса $\sim 1/q^2$ в формуле (18). Численное интегрирование дает

$$\begin{split} \text{Br} \left(D_s^- \to \mu^+ \mu^- \bar{\nu}_e \, e^- \right) \, \Big|_{x_{12 \, \text{min}} = 0.01} &\approx \\ &\approx 0.2 \, \frac{\tau_{D_s}}{5.04 \times 10^{-13} \, \, \text{c}} \, \frac{\left| V_{cs} \right|^2}{0.95} \times 10^{-5}. \end{split} \tag{24}$$

Результат (24) хорошо согласуется с наивной оценкой (1), что является дополнительным аргументом в пользу правильности проведенных вычислений. Неопределенность численного предсказания (24) напрямую зависит от неопределенности в величинах и параметризации адронных формфакторов и составляет примерно 30%.

Теперь рассмотрим парциальную ширину распада $D_s^- \to e^+ e^- \bar{\mathbf{v}}_\mu \mu^-$. Как было отмечено в работе [1], если в качестве $x_{12\,\mathrm{min}}$ для этого случая выбрать значение $4\,\hat{m}_e^2$, то такой выбор не будет соответствовать экспериментальной процедуре отбора событий, поскольку эффективность регистрации электрон-позитронных пар мала, если $\sqrt{q^2}$ меньше примерно 100 МэВ. Таким образом, область $\sqrt{q^2}$ от $2m_e$ до 100 МэВ не детектируется на современных установках и, следовательно, должна быть исключена из теоретических предсказаний. В свете вышесказанного для вычисления парциальной ширины распада $D_s^- \to e^+ e^- \bar{\mathbf{v}}_\mu \mu^-$ выберем $x_{12\,\mathrm{min}} = \Lambda^2/M_1^2$. При $\Lambda = 100\,\mathrm{M}$ эВ величина $x_{12\,\mathrm{min}} = 0.003$. В этом случае численное интегрирование дает

Br
$$\left(D_s^- \to e^+ e^- \bar{\mathbf{v}}_{\mu} \mu^-\right) \Big|_{x_{12\,\text{min}} = 0.003} \approx$$

 $\approx 0.5 \frac{\tau_{D_s}}{5.04 \times 10^{-13} \text{ c}} \frac{\left|V_{cs}\right|^2}{0.95} \times 10^{-5}, \quad (25)$

что прекрасно согласуется с наивной оценкой (2). Если выбрать $\Lambda = 200~{
m M}$ (чему соответствует

 $x_{12\,\mathrm{min}}=0.01$), то в рамках 30%-ной точности настоящих вычислений, при которой можно пренебречь различием в фазовых объемах конечных состояний $\mu^+\mu^-\bar{\nu}_e\,e^-$ и $e^+e^-\bar{\nu}_\mu\,\mu^-$, имеет место следующее приближенное равенство:

$$\begin{split} \operatorname{Br}\left(D_s^- \to e^+ e^- \bar{\mathbf{v}}_{\boldsymbol{\mu}} \, \boldsymbol{\mu}^-\right) \; \Big|_{x_{12\,\text{min}} = 0.01} \; &\approx \\ &\approx \operatorname{Br}\left(D_s^- \to \boldsymbol{\mu}^+ \boldsymbol{\mu}^- \bar{\mathbf{v}}_e \, e^-\right) \; \Big|_{x_{12\,\text{min}} = 0.01}. \end{split}$$

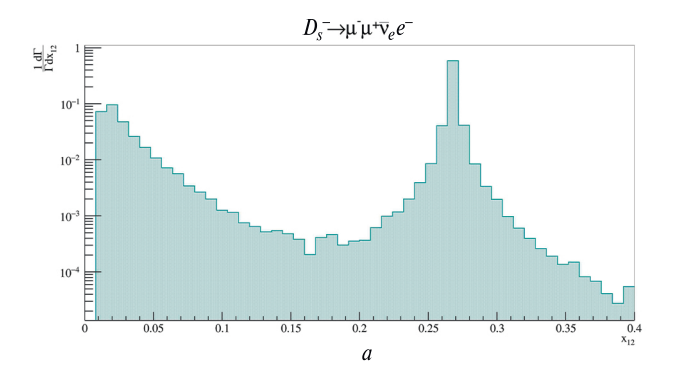
С ростом значения $x_{12\,\mathrm{min}}$ парциальные ширины распадов $D_s^- \to \ell^+\ell^- \bar{\mathrm{v}}_{\ell'}$ ℓ'^- будут убывать и практически обратятся в нуль при $x_{12\,\mathrm{min}} > M_{\phi(1020)}^2/M_1^2 \approx 0.3$. При выборе $x_{12\,\mathrm{min}} > 0.3$ представленная в настоящей работе теория, по всей видимости, неприменима, поскольку в данной области следует учитывать нерезонансный вклад от распада $D_s^- \to \left(\gamma^* \to \ell^+\ell^-\right) \bar{\mathrm{v}}_{\ell'}$ ℓ'^- и резонансный вклад от $\phi(1680)$ -мезона. Отметим, что учет данных вкладов практически не скажется на численных результатах (24) и (25). Похожая ситуация обсуждалась в работах [1, 4] применительно к распадам $B^- \to \ell^+\ell^- \bar{\mathrm{v}}_{\ell'}$ ℓ'^- .

5.3. Дифференциальные распределения в распадах
$$D_s^- o \mu^+\mu^-ar{
m v}_e\,e^-$$
 и $D_s^- o e^+e^-ar{
m v}_\mu\,\mu^-$

Рассмотрим распределения по переменной x_{12} , которые представлены на рис. 7. В связи с тем, что данные распределения имеют фотонный полюс и полюс в области $\phi(1020)$ -резонанса, эти распределения удобно строить в логарифмическом масштабе. Распределения по переменной x_{12} представлены вплоть до значения 0.4, что соответствует области применения рассматриваемой в настоящей работе теории. Для распада $D_s^- \rightarrow \mu^+ \mu^- \bar{\nu}_e \, e^-$ значение квадрата инвариантной массы $\mu^+\mu^-$ -пары ограничено снизу величиной $4m_{\mu}^2$, что соответствует $x_{12\,{\rm min}}=0.01.$ В распаде $D_s^- \to e^+ e^- \bar{\nu}_{\mu} \mu^-$ квадрат инвариантной массы e^+e^- -пары ограничен снизу параметром Λ^2 , где $\Lambda=$ = 100 MэВ $\sim m_{\text{u}}$. Поэтому на рис. 7*a* резонансный вклад доминирует над вкладом фотонного полюса, в то время как на рис. 7b вклад фотонного полюса доминирует над резонансным вкладом.

Перейдем к распределениям по переменной x_{34} , которые изображены на рис. 8. Исходя из свойств рассматриваемой модели, в которой данные распределения в основном определяются интегрированием по резонансному вкладу, распределения по x_{34} имеют следующий качественный вид:

$$\frac{d\Gamma}{dx_{34}} \sim g(x_{34}) \int_{x_{12\min}}^{(1-\sqrt{x_{34}})^2} dx_{12} \frac{f(x_{12})}{\left(x_{12} - \hat{M}_2^2\right)^2 + \hat{\Gamma}_2^2 \hat{M}_2^2} \approx
\approx g(x_{34}) \left(C_1 + C_2 \arctan\left(\frac{(1-\sqrt{x_{34}})^2 - \hat{M}_2^2}{\hat{\Gamma}_2 \hat{M}_2}\right)\right).$$
(26)



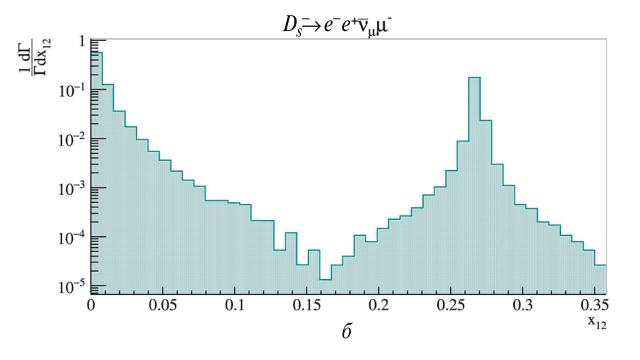
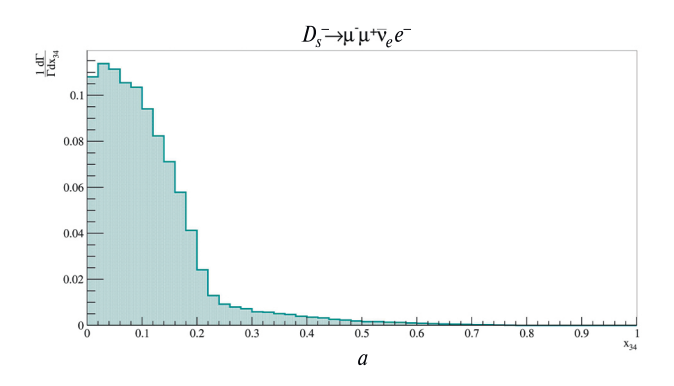


Рис. 7. Нормированные дифференциальные распределения $\frac{1}{\Gamma} \frac{d\Gamma}{dx_{12}}$ для распадов $D_s^- \to \mu^+ \mu^- \bar{\nu}_e \, e^-$ при $x_{12\, \mathrm{min}} = 0.01$ (a) и $D_s^- \to e^+ e^- \bar{\nu}_\mu \, \mu^-$ при $x_{12\, \mathrm{min}} = 0.003$ (б).



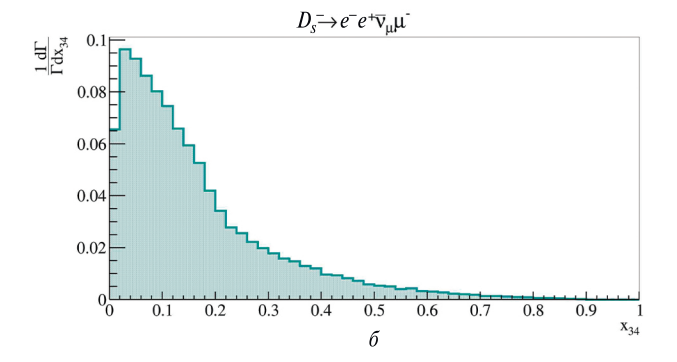


Рис. 8. Нормированные дифференциальные распределения $\frac{1}{\Gamma} \frac{d\Gamma}{dx_{34}}$ для распадов $D_s^- \to \mu^+ \mu^- \bar{\nu}_e \, e^-$ (*a*) и $D_s^- \to e^+ e^- \bar{\nu}_\mu \, \mu^-$ (*б*).

При вычислении интеграла в (26) мы положили $f(x_{12}) \approx f(\hat{M}_2^2)$, поскольку основной интеграл набирается в области узкого пика $\phi(1020)$ -резонанса. Из формулы (26) видно, что "скачок" распределений $\frac{1}{\Gamma} \frac{d\Gamma}{dx_{34}}$ должен происходить при

$$x_{34} = (1 - \hat{M}_2)^2 \approx 0.23.$$

Рис. 8 подтверждает данный качественный анализ.

Помимо распределений по переменным x_{12} и x_{34} с экспериментальной точки зрения имеет смысл ввести безразмерный квадрат инвариантной массы всех заряженных лептонов в четырехлептонных распадах D_s^- -мезонов. Данная переменная задается формулой

$$x_{124} = (k_1 + k_2 + k_4)^2 / M_1^2$$
.

На рис. 9 показаны нормированные распределения по x_{124} . Из рисунка видно, что форма представленных распределений чувствительна к кинематике распада и выбору значения $x_{12\,\mathrm{min}}$. На рис. 10 и 11 даны распределения по угловым переменным $\cos\theta_{12}$ и $\cos\theta_{34}$, которые задаются формулами (A.2). Эти распределения также проявляют чувствительность к выбору конечного лептонного состояния.

6. ЗАКЛЮЧЕНИЕ

В настоящей работе

• в рамках Стандартной модели получено предсказание для парциальной ширины распада $D_s^- o \mu^+ \mu^- \bar{\mathbf{v}}_e \, e^-$ на уровне

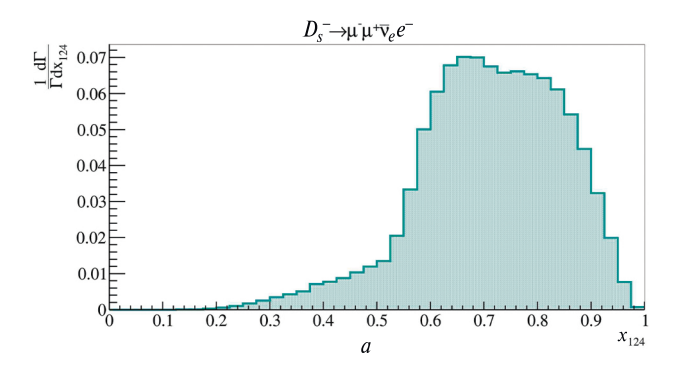
$$\begin{split} \operatorname{Br}\left(D_{s}^{-} \to \mu^{+}\mu^{-}\bar{\mathbf{v}}_{e}\,e^{-}\right) \, \Big|_{\sqrt{q^{2}}=2\,m_{\mu}} &\approx \\ &\approx 0.2\,\frac{\mathbf{\tau}_{D_{s}}}{5.04\times10^{-13}\;\mathrm{c}}\,\frac{\left|V_{cs}\right|^{2}}{0.95}\times10^{-5}. \end{split}$$

Неопределенность данного предсказания составляет порядка 30%;

• в рамках Стандартной модели найдена парциальная ширина распада $D_s^- o e^+ e^- \bar{\mathbf{v}}_\mu \, \mu^-$

$$\begin{split} \operatorname{Br}\left(D_s^- \to e^+ e^- \bar{\mathbf{v}}_{\boldsymbol{\mu}} \, \boldsymbol{\mu}^-\right) \, \Big|_{\sqrt{q^2} = 100 \; \operatorname{MaB}} &\approx \\ &\approx 0.5 \, \frac{\tau_{D_s}}{5.04 \times 10^{-13} \; \mathrm{c}} \, \frac{\left|V_{cs}\right|^2}{0.95} \times 10^{-5}. \end{split}$$

Неопределенность данного предсказания также оказывается порядка 30%;



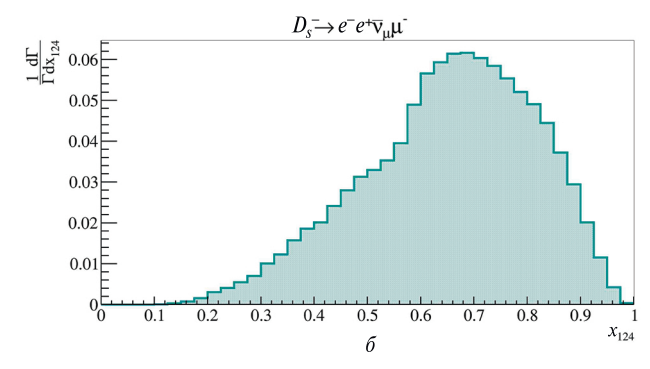
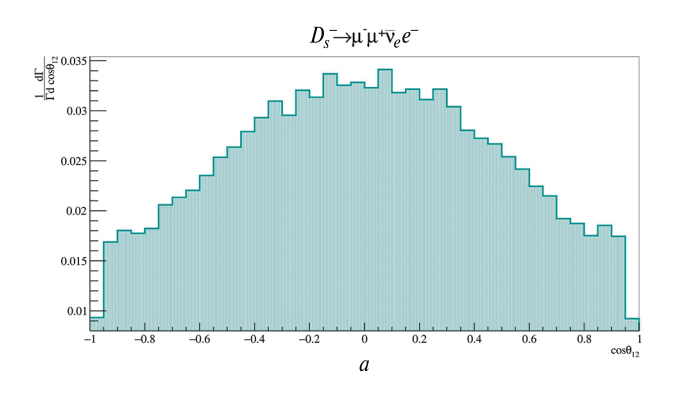


Рис. 9. Нормированные дифференциальные распределения $\frac{1}{\Gamma} \frac{d\Gamma}{dx_{124}}$ по безразмерному квадрату инвариантной массы всех заряженных лептонов в распадах $D_s^- \to \mu^+\mu^-\bar{\mathbf{v}}_e\,e^-$ (a) и $D_s^- \to e^+e^-\bar{\mathbf{v}}_\mu\,\mu^-$ (б).



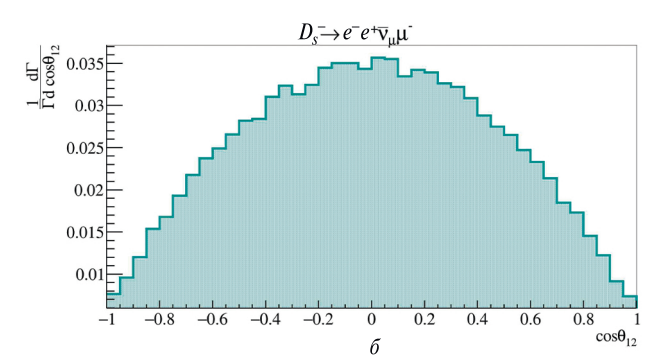
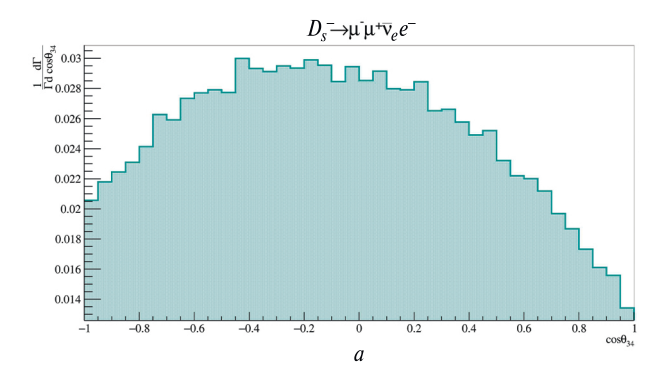


Рис. 10. Нормированные дифференциальные распределения $\frac{1}{\Gamma} \frac{d\Gamma}{d\cos\theta_{12}}$ для распадов $D_s^- \to \mu^+\mu^-\bar{\nu}_e\,e^-$ (a) и $D_s^- \to e^+e^-\bar{\nu}_\mu\,\mu^-$ (б).



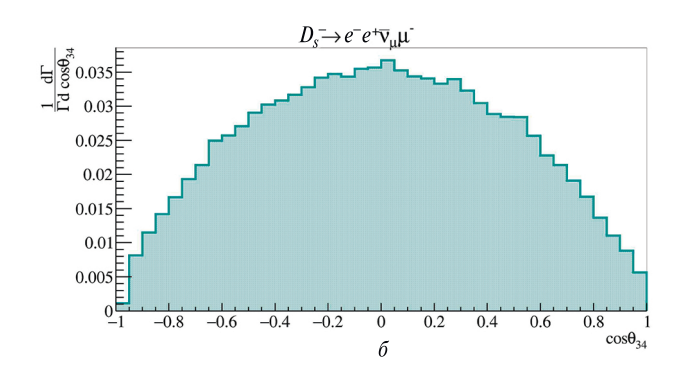


Рис. 11. Нормированные дифференциальные распределения $\frac{1}{\Gamma} \frac{d\Gamma}{d\cos\theta_{34}}$ для распадов $D_s^- \to \mu^+\mu^-\bar{\nu}_e\,e^-$ (a) и $D_s^- \to e^+e^-\bar{\nu}_u\,\mu^-$ (б).

- показано, что распады $D_s^- \to \mu^+ \mu^- \bar{\nu}_e \, e^-$ и $D_s^- \to e^+ e^- \bar{\nu}_\mu \, \mu^-$ можно попытаться зарегистрировать на установке BESIII;
- построены и проанализированы однократные дифференциальные распределения для различных кинематических переменных в распадах $D_s^- \to \ell^+ \ell^- \bar{\mathbf{v}}_{\ell'} \, \ell'^-$.

БЛАГОДАРНОСТИ

Авторы благодарят И.М. Беляева, Э.Э. Бооса, А.А. Бузину, Л.В. Дудко и В.Ю. Егорычева за плодотворные дискуссии, способствовавшие улучшению работы. Кроме того авторы выражают благодарность за финансовую поддержку Российскому научному фонду, грант N 22-22-00297 "Редкие четырехлептон-

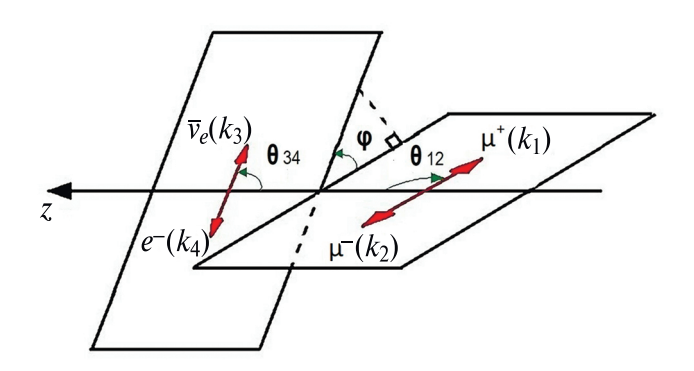


Рис. 12. Кинематика распада $D_s^-(p) \to \mu^+(k_1)\,\mu^-(k_2)\,\bar{\mathbf{v}}_e(k_3)\,e^-(k_4)$. Угол θ_{12} определяется в системе покоя $\mu^+(k_1)\,\mu^-(k_2)$ -пары; θ_{34} определяется в системе покоя $\bar{\mathbf{v}}_e(k_3)\,e^-(k_4)$ -пары; угол ϕ задается в системе покоя D_s^- -мезона.

ные распады тяжелых мезонов в Стандартной модели и ее расширениях".

Приложение A: Кинематика четырехлептонных распадов D_s -мезонов

Обозначим через k_i 4-импульсы конечных лептонов в четырехлептонном распаде $D_s^-(p,M_1) \to \ell^+(k_1)\,\ell^-(k_2)\,\bar{\mathbf{v}}_{\ell'}(k_3)\,\ell'^-(k_4)$, где $i=\{1,2,3,4\}$. Введем следующие 4-импульсы:

$$q = k_1 + k_2$$
; $k = k_3 + k_4$; $p = q + k = k_1 + k_2 + k_3 + k_4$

и $p^2=M_1^2$. При дальнейших вычислениях удобно пользоваться безразмерными переменными $x_{ij}=(k_i+k_j)^2/M_1^2$, для которых справедливо равенство $x_{ij}=x_{ji}$. В данной статье используются $x_{12}=q^2/M_1^2$ и $x_{34}=k^2/M_1^2$. Практически во всех вычислениях настоящей работы, кроме вычисления вклада тормозного излучения, лептоны можно считать безмассовыми, т.е. полагать $k_i^2=0$. Поэтому, вообще говоря, следует учитывать зависимость четырехчастичного фазового объема от масс конечных лептонов. Интервалы изменения переменной x_{12} и переменной x_{34} (при фиксированном значении переменной x_{12}) следующие:

$$4 \hat{m}_{\ell}^2 \leqslant x_{12} \leqslant (1 - \hat{m}_{\ell'})^2;$$
 (A.1)
 $\hat{m}_{\ell'}^2 \leqslant x_{34} \leqslant (1 - \sqrt{x_{12}})^2,$

где $\hat{m}_\ell = m_\ell/M_1$ и $\hat{m}_{\ell'} = m_{\ell'}/M_1$. Если лептон ℓ или ℓ' совпадает с электроном, то с экспериментальной точки зрения не имеет смысла задавать нижнюю границу переменной x_{12} или x_{34} в терминах массы покоя электрона. Действительно, в любом современном эксперименте происходит отбор по поперечным импульсам частиц, для которого справедливы условия $p_{T\,\mathrm{min}}\sim \Lambda\gg m_e$.

Введем угол θ_{12} между направлением импульса положительно заряженного лептона $\ell^+(k_1)$ и направлением движения D_s -мезона (ось z) в системе покоя $\ell^+\ell^-$ -пары и угол θ_{34} между направлением движения антинейтрино $\bar{\nu}_{\ell'}(k_3)$ и направлением движения D_s -мезона (ось z) в системе покоя $\ell'^-\bar{\nu}_{\ell'}$ -пары. На рис. 12 показаны соответствующие углы для ситуации, когда $\ell \equiv \mu$ и $\ell' \equiv e$. В случае безмассовых лептонов для углов θ_{ij} можем написать следующие формулы:

$$y_{12} \equiv \cos \theta_{12} = \frac{1}{\lambda^{1/2}(1, x_{12}, x_{34})} (x_{23} + x_{24} - x_{13} - x_{14}),$$
(A.2)

$$y_{34} \equiv \cos \theta_{34} = \frac{1}{\lambda^{1/2}(1, x_{12}, x_{34})} (x_{14} + x_{24} - x_{13} - x_{23}),$$

где $\lambda(a,\ b,\ c)=a^2+b^2+c^2-2ab-2ac-2bc$ — треугольная функция. Углы $\theta_{12}\in[0,\ \pi]$ и $\theta_{34}\in[0,\ \pi]$. Поэтому $y_{12}\in[-1,\ 1]$ и $y_{34}\in[-1,\ 1]$. Отсчет углов производится от оси z. Кроме того, в системе покоя D_s -мезона определим угол $\phi\in[0,\ 2\pi)$ между плоскостями, которые образованы парами векторов $(\mathbf{k}_1,\ \mathbf{k}_2)$ и $(\mathbf{k}_3,\ \mathbf{k}_4)$. Для этого введем вектор $\mathbf{a}_1=\mathbf{k}_1\times\mathbf{k}_2$, перпендикулярный плоскости $(\mathbf{k}_1,\ \mathbf{k}_2)$, и вектор $\mathbf{a}_3=\mathbf{k}_4\times\mathbf{k}_3$, перпендикулярный плоскости $(\mathbf{k}_3,\ \mathbf{k}_4)$. Тогда

$$\cos \phi = \frac{\left(\mathbf{a}_1, \, \mathbf{a}_3\right)}{|\mathbf{a}_1| \, |\mathbf{a}_3|}.$$

Используя технику из книги [24], данный угол можно выразить через переменные x_{ij} , y_{12} и y_{34} [4, 25]. Отметим, что в настоящей работе определение переменных y_{ij} отличается знаком от определения аналогичных переменных в статье [25].

Четырехчастичный фазовый объем имеет вид

$$d\Phi_4 = M_1^4 \frac{dx_{12}}{2\pi} \frac{dx_{34}}{2\pi} d\Phi_2^{(qk)} d\Phi_2^{(12)} d\Phi_2^{(34)},$$

где с учетом ненулевой массы лептонов ℓ^\pm и ℓ'^- можно написать

$$\begin{split} d\Phi_2^{(qk)} &= 2\pi\delta \left(q^2 - x_{12}M_1^2\right) \frac{d^4q}{(2\pi)^4} 2\pi\delta \left(k^2 - x_{34}M_1^2\right) \times \\ &\quad \times \frac{d^4k}{(2\pi)^4} (2\pi)^4 \delta^4 \left(p - q - k\right), \\ d\Phi_2^{(12)} &= 2\pi\delta \left(k_1^2 - m_\ell^2\right) \frac{d^4k_1}{(2\pi)^4} 2\pi\delta \left(k_2^2 - m_\ell^2\right) \times \\ &\quad \times \frac{d^4k_2}{(2\pi)^4} (2\pi)^4 \delta^4 \left(q - k_1 - k_2\right), \\ d\Phi_2^{(34)} &= 2\pi\delta \left(k_3^2\right) \frac{d^4k_3}{(2\pi)^4} 2\pi\delta \left(k_4^2 - m_{\ell'}^2\right) \times \\ &\quad \times \frac{d^4k_4}{(2\pi)^4} (2\pi)^4 \delta^4 \left(k - k_3 - k_4\right). \end{split}$$

При вычислении четырехчастичного фазового объема в качестве независимых переменных интегрирования

удобно выбрать $x_{12}, x_{34}, y_{12}, y_{34}$ и φ . Тогда

$$\Phi_2^{(qk)} = \frac{1}{2^3 \pi} \lambda^{1/2} \left(1, \, x_{12}, \, x_{34} \right)$$

И

$$d\Phi_2^{(12)} = \frac{1}{2^4 \pi} \sqrt{1 - \frac{4\hat{m}_\ell^2}{x_{12}}} dy_{12};$$

$$d\Phi_2^{(34)} = \frac{1}{2^5 \pi^2} \left(1 - \frac{\hat{m}_{\ell'}^2}{x_{34}}\right) dy_{34} d\varphi.$$

Это дает

$$d\Phi_4 = \frac{M_1^4}{2^{14} \pi^6} \lambda^{1/2} \left(1, \, x_{12}, \, x_{34} \right) \sqrt{1 - \frac{4\hat{m}_\ell^2}{x_{12}}} \times \left(1 - \frac{\hat{m}_{\ell'}^2}{x_{34}} \right) dx_{12} \, dx_{34} \, dy_{12} \, dy_{34} \, d\varphi. \quad (A.3)$$

СПИСОК ЛИТЕРАТУРЫ

- 1. А. В. Данилина, Н. В. Никитин, ЯФ **81**, 347 (2018) [Phys. At. Nucl. **81**, 331 (2018)].
- 2. R. Aaij *et al.* [LHCb Collab.], Eur. Phys. J. C **79**, 675 (2019).
- 3. A. Danilina and N. Nikitin, EPJ Web Conf. **191**, 02011 (2018).
- 4. A. V. Danilina, N. V. Nikitin, and K. S. Toms, Phys. Rev. D **101**, 096007 (2020).
- M. Beneke, P. Boer, P. Rigatos, and K. K. Vos, Eur. Phys. J. C 81, 638 (2021).
- 6. A. Bharucha, B. Kindra, and N. Mahajan, arXiv: 2102.03193 [hep-ph].
- 7. M. Ivanov and D. Melikhov, Phys. Rev. D **105**, 014028 (2022); Phys. Rev. D **106**, 119901 (Erratum) (2022).

- 8. C. Wang, Yu-M. Wang, and Y.-B. Wei, JHEP **2202**, 141 (2022).
- 9. S. Kurten, M. Zanke, B. Kubis, and D. van Dyk, Phys. Rev. D **107**, 053006 (2023).
- R. L. Workman, Prog. Theor. Exp. Phys. 2022, 083C01 (2022).
- 11. M. Ablikim *et al.* [BESIII Collab.], Phys. Rev. D **99**, 072002 (2019).
- 12. G. Burdman, J. T. Goldman, and D. Wyler, Phys. Rev. D **51**, 111 (1995).
- 13. D. Atwood, G. Eilam, and A. Soni, Mod. Phys. Lett. A **11**, 1061 (1996).
- 14. J.-C. Yang and M.-Z. Yang, Nucl. Phys. B **889**, 778 (2014).
- 15. J.-C. Yang and M.-Z. Yang, Nucl. Phys. B **914**, 301 (2017).
- 16. L. S. Lu, Chin. Phys. C 45, 073101 (2021).
- 17. R. Frezzotti et al., Phys. Rev. D 108, 074505 (2023).
- 18. M. Ablikim *et al.* (BESIII Collab.), Nucl. Instrum. Methods A **614**, 345 (2010).
- 19. D. Melikhov, N. Nikitin, and K. Toms, Phys. At. Nucl. **68**, 1842 (2005).
- A. Kozachuk, D. Melikhov, and N. Nikitin, Phys. Rev. D 97, 053007 (2018).
- 21. D. Melikhov and B. Stech, Phys. Rev. D **62**, 014006 (2000).
- 22. Y. Aoki *et al.* [FLAG Collab.], Eur. Phys. J. C **82**, 869 (2022).
- 23. The development page for the EvtGen project, https://evtgen.hepforge.org/
- 24. E. Byckling and K. Kajantie, *Particle Kinematics* (John Wiley and Sons, London, New York, Sydney, Toronto, 1973).
- 25. A. R. Barker, H. Huang, P. A. Toale, and J. Engle, Phys. Rev. D **67**, 033008 (2003).

THE RARE D_s -MESONS' DECAYS INTO THREE CHARGED LEPTONS AND NEUTRINOS IN THE FRAMEWORK OF STANDARD MODEL

A. V. Danilina^{1),2)}, N. V. Nikitin^{1),2),3),4)}

¹⁾ Skobeltsyn Institute of Nuclear Physics, Moscow, Russia
²⁾ NRC "Kurchatov Institute" — ITEP, Moscow, Russia
³⁾ Lomonosov Moscow State University, Physics Faculty, Moscow, Russia
⁴⁾ The Moscow Institute of Physics and Technology, Dolgoprudny, Moscow Region, Russia

In the framework of the Standard Model, the values of branching ratios and differential distributions for four-lepton decays $D_s^- \to \mu^+ \mu^- \bar{\nu}_e \, e^-$ and $D_s^- \to e^+ e^- \bar{\nu}_\mu \, \mu^-$ are found. In our calculations we took into account the processes of a virtual photon emission by s- and c-quarks of the D_s^- -meson and bremsstrahlung. The emission of a virtual photon by s-quark have been described using the vector mesons dominance model.